

## 1 落下水の空気混入の実験

東北大工正員 坂本龍雄  
東北大工学生員 村上和男  
東北大工学生員 吉村 敦

### 1. まえがき

自由落下水は滝とかアーチダムの洪水吐などに見られる。これらの水脈をみると水脈は空気を含みながら白くなつて静水中に噴流となつて突入していく。このような空気混入は水脈の突入後のエネルギーの減衰に多大な貢献している。空気混入のない、いわゆる "submerged jet" に関する拡散現象については多くの研究がなされ、理論と実験が良く一致しているが、それに空気が混入するこことにより問題はより複雑となつている。複雑な原因としては連行水流下空気による導力の影響、密度変化、乱流現象の変化等が考えられる。

本実験においては、空気を含んだ場合と含まない場合の流速分布の比較と、今問題となつていて空気量を測定しようとした。双方とも、その傾向を調べるために試ったが、今後更に継続的な研究が必要と思われる。

### 2. 実験装置

図.1に実験水槽を示す。底水槽の大きさは長さ3.00m×幅0.6m×高さ1.30mである。nozzleの直径としては $\phi 5\text{cm}$ のものと $\phi 2\text{cm}$ のものを使用した。流速計についてはプロントルのピトー管を用いた。空気混入量については図.2に示すように、白金線 probe の先端から10,000サイクルのパルス電流を発振させ、その断続を電子計数管で読むことにより測定した。probeはでの先端1mm位を尖りし、残りは完全に絶縁し、それを流れ方向と流れと垂直方向に可動であるようにした。発振器には(1~10)キロサイクルの水晶発振器を用いた。

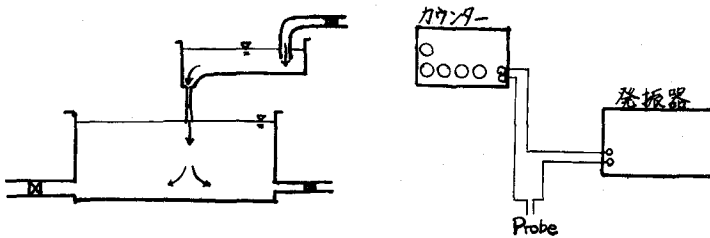


図.1 実験装置の概要

図.2 発振器の回路

### 3. 静水中突入後の流速

落下水脈が静水中に突入すると、拡散現象により周囲の流体にエネルギーを伝播して水脈自身の流速は減衰する。空気を混入しない、いわゆる "submerged jet" に関する速度分布は Albertson 等の論文<sup>(1)</sup>に述べられている。この論文によると中心線速度分布は二次元の場合、 $v_{max}/v_0 = 2.28/\sqrt{z/z_0}$ 、三次元の場合  $v_{max}/v_0 = 6.3/z_0$ 。 $(v_{max}:\text{中心線速度}, z_0:\text{初速度})$  が与えられている。空気が混入している場合にはこれ

より複雑に挙動してくる。文献(2)によれば、 $v_{max}$ と $d_0$ との関係を片対数グラフに画くと、すべての測定値はほぼ2群に分かれ、各群はほとんど直線をなし、この境界は $Re = 25000 \sim 30000$  ( $Re = \frac{U_m d_0}{\nu}$ ) の範囲で定められると思われる。と述べている。

図.3は突入する流量を一定にして、nozzleの出口から静水面までの落下高を変えて(落差10cm, 30cm)測定を行った結果を示す。この図によると、落下高が大きい程、速度減衰が大きく、又ボテンシャルコア領域が小さくなっていることが分かる。これは落下高が大きい程、突入時に於いて空気を多く運行し、かつ落下水柱と空気との混合が突入時に於いて進んでいるためと思われる。この結果自由落下水の速度の減衰には、空気泡による摩擦の影響が大きいことがわかる。

次に流れ方向に垂直な断面の速度分布を取り、図.3.'submerged jet'については、前述の論文に述べられていくように、速度分布の相似性と、その分布曲線が、ガウス分布で近似できることを示している。図.4に水深30cmでの空気混入の場合と落差の場合を比較している。図.5により、空気が混入している方が速度分布が広がっているが、空気混入量の多い方が拡散が大きいとは言えない。

#### 4. 空気混入量の測定

今まで述べてきたように、自由落下水に於ける空気泡の挙動を調べることが非常に重要である。空気の運行の過程は文献(3)に説明されている。これによれば、気泡の運行機構は(i): 水脈中に含まれている空気の運行。(ii): 水脈と空気との接触による運行。(iii): 水脈の擾乱による空気の押込みによる運行。(iv): 負圧による運行。の4つに分類している。

本実験では落下水における空気混入量を電気的に測定した。probeとしては白金線の先端1mm位を突出させて残りの部分を絶縁状態にし、他の電極を気泡を含まない水中に置き、水晶振動器により10000サイクルのパルス電流を走らせて、図.2に見られるような回路を作った。このようにして走らせるパルス電流を電子計数管によって読み取った。例ええば10000サイクルのパルスを10秒間送った場合、10000と記録されれば、白金電極は完全に水中に在ることを示し、零と記録されればそれは完全に空気中に出ていることを示す。この方法によって測定点の空気混合の平均濃度が測定されるものと差立たず。

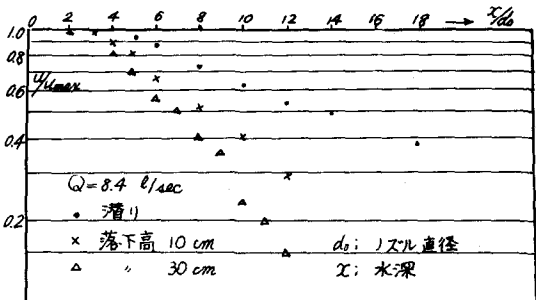


図.3 中心線速度の減衰

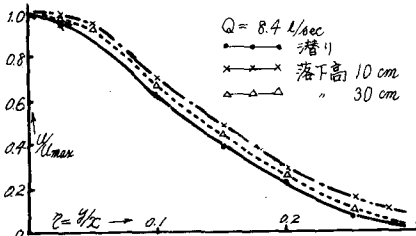


図.4 水深30cmでの断面方向速度分布

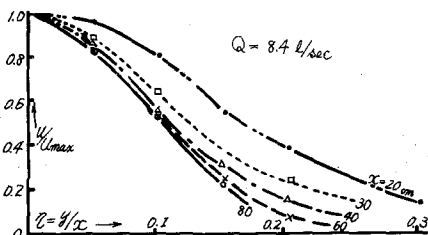


図.5 断面方向速度分布

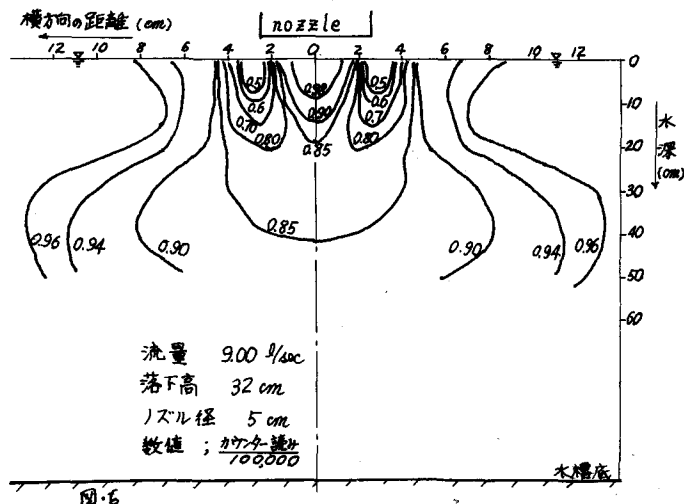
他に空気混入量を電気的に測定する方法としては、水中に空気が入ることによる水の電気抵抗の変化でもって調べる方法がある。又、静圧と低水槽の水位を比較することにより、水の密度を測る方法もある。

実験結果を図・6に示す。但しこの結果は発振器の出力によつて電子計数管の値が変つて至つて、前記述べたように、電子計数管の値が水の空気混入の濃度を示さず表わしていくとは思われない。そこで水中での電子計数管の値が、

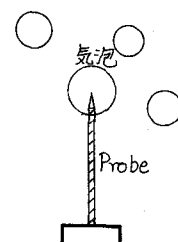
100,000の値における最終の出力に発振器を調整して実験を行つたが、やがて良い結果は得られなかつた。これは図・7に示すような状態になつて時々パルス電流が切れるのではなく、両電極間に水中に気泡が入ることによる抵抗の増大によって切れるのではないかという危惧が生じてきつた。しかし、空気混入部分をはさんで両電極をできるだけ遠くに離して、その間の抵抗を大きくした状態で、パルス電流を流してもパルスがカットされないことが、

一概に抵抗の影響によるものではないことが分る。図・6は電子計数管の読み取りから、その値をもつて、contour-line を引いたものであつて、これから空気混入量分布の傾向を知ることが出来る。この図を見ると、落下下水深と空気との境界附近から気泡は膨らんで、下方に行くにつれて、内部の内側と外側に拡散していく過程がみられる。

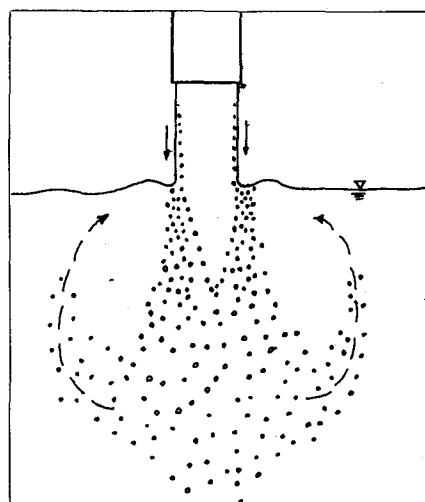
空気混入状態をよく観察すると、図・8のようになる。観察の結果として、おもしろい結果が得られた。それは、気泡の最大到達距離、つまり気泡が完全になくなるまでの水深は、流量を一定にするならば、空気混入量が小さい時ほど大きいことを示している。空気混入量が小さい程、深くまで気泡が到達するということは、次のように説明される。もし流量が一定ならば、落下高が大きい程、空気混入量が増加し、混入された空気の浮力効果によって、速度減衰が大きくなる。故に、気泡の最大到達距離が小さくなるのである。



図・6



図・7



図・8 空気混入状態のスケッチ

## 5. おわりに

今回の実験は、プロントル・ピト一管を用いて、落下水中の速度分布を調べ、次に水晶発振器によるパルス電流を通すことによって、気泡の濃度分布を調べようとした。前者については、空気混入が静水中に突入後の落下水流の速度減衰に、大工は影響があることがわかった。後者に関しては、濃度分布の傾向がわかつたすぎない。この傾向によれば、落下水流によって運行される空気は、jet の境界付近から漏れ込んで、下に行くにつれて、jet の内外へと拡散していく過程がわかつた。因下実験途上であって、空気量の定量的な分析はできなかつたが、噴流の速度とかエネルギーの減衰過程を知る上で、空気混入量が非常に重要な問題となることから、更に一層の検討を要する。

## 6. 参考文献

- (1) Albertson, Dai, Jansen, Rouse : "Diffusion of Submerged Jet" Trans, ASCE Vol. 115, No 2409, 1950
- (2) 岩崎, 千秋 "静水中に落下する水流の実験" 土木学会誌 38巻8号 昭28
- (3) 坂本、藤原、松原 "静水面上に自由落下する流れの拡散", 土木学会東北支部技術研究発表会講演概要 1970
- (4) O.P. Lamb, J.M. Killen; "An Electrical Method for Measuring Air Concentration in Flowing Air-Water Mixtures. St. Anthony Falls Hydraulic Laboratory. March 1970